

Институт радиотехники
и электроники АН СССР,
Москва

Поступило в Редакцию
12 февраля 1988 г.

Письма в ЖТФ, том 14, вып. 10

26 мая 1988 г.

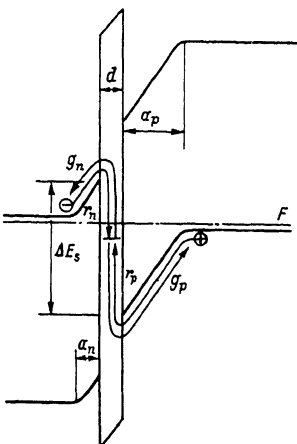
ТЕРМОДИНАМИЧЕСКИ РАВНОВЕСНЫЙ $1/f$ -ШУМ В ГЕТЕРОСТРУКТУРАХ С ТУННЕЛЬНЫМ ДИЭЛЕКТРИКОМ

Л.Н. Н е у с т р о е в, В.В. О с и п о в,
О.Н. П а н а щ е н к о

В настоящем сообщении предсказана возможность существования на концах разомкнутой полупроводниковой гетероструктуры термодинамически равновесного флюктуационного напряжения со спектром $1/f$. Показано, что в структуре полупроводник-туннельный диэлектрик-полупроводник (ПТДП) (рис. 1) в широком диапазоне частот действительная часть адmittанса может возрастать пропорционально частоте: $\sigma(f) \sim f$. При этом действительная часть импеданса изменяется по закону $ReZ(f) = \sigma(f)[\sigma^2(f) + (2\pi C f)^2]^{-1}$, где C - емкость структуры, а спектральная плотность флюктуаций напряжения на концах разомкнутой ПТДП структуры, согласно теореме Найквиста, имеет спектр $S_V(f) = 4kT \cdot ReZ(f) \sim 1/f$.

Рассмотрим случай, когда проводимость ПТДП структуры определяется процессами захвата и выброса носителей повышками, расположеннымными в диэлектрике. В этом случае физическая причина увеличения $\sigma(f)$ с ростом частоты состоит в следующем. При захвате электрона на повышку в диэлектрике (процесс „ I_n “ на рис. 1) во внешней цепи переносится заряд qa_n/a , а при захвате дырки (процесс „ I_p “ на рис. 1) – заряд qa_p/a , где q – заряд электрона, a_n и a_p – размеры области пространственного заряда в полупроводниках n - и p -типа, $a = a_n + a_p$ (считается, что толщина диэлектрика $d \ll a_n + a_p$). При выбросе электрона или дырки с повышки в диэлектрике (процессы „ J_n “ или „ J_p “ на рис. 1) во внешней цепи переносятся заряды $(-qa_n/a)$ или $(-qa_p/a)$ соответственно. Разобъем все возможные генерационно-рекомбинационные процессы с участием повышек на четыре группы: захват электрона – захват дырки ($I_n - I_p$), выброс электрона – выброс дырки ($J_n - J_p$), захват электрона – выброс электрона (I_n/J_n) и захват дырки – выброс дырки ($I_p - J_p$). Импульсы тока, протекающие во внешней цепи при этих процессах, представлены на рис. 2. Поскольку площадь под импульсом, соответствующим одиночному процессу ($I_n - J_n$) или ($I_p - J_p$) равна нулю, то в статическую

Рис. 1. Зонная диаграмма ПТДП-структуры и схематическое изображение процессов захвата и выброса носителей повушками в окисной пленке.



проводимость эти процессы вклада не дают. Обозначим через ν_n среднюю частоту процессов r_n и g_n (в термодинамическом равновесии частоты этих процессов равны), а через ν_p – среднюю частоту процессов r_p и g_p . Средняя частота процессов $(r_n - r_p)$ и $(g_n - g_p)$, которые определяют величину статической проводимости, определяется меньшей из частот ν_n , ν_p . При отличных от нуля частотах наряду с процессами $(r_n - r_p)$ и $(g_n - g_p)$ вклад в проводимость дают процессы $(r_n - g_n)$ и $(r_p - g_p)$, средние частоты которых равны ν_n и ν_p соответственно. Частоты ν_n и ν_p могут экспоненциально сильно различаться по величине, особенно в широкозонных полупроводниках. Поскольку статическая проводимость гетероперехода определяется меньшей из частот ν_n и ν_p , а высокочастотная проводимость – большей из них, то при выполнении условия $\max(\nu_n, \nu_p) \gg \min(\nu_n, \nu_p)$ должен существовать диапазон частот, в котором действительная часть проводимости ПТДП структуры будет увеличиваться с ростом частоты. Если туннельная прозрачность диэлектрика близка к единице, то имеется одно характерное время перезарядки повушек в диэлектрике, и действительная часть проводимости гетероструктуры возрастает по закону $\sigma(f) \sim f^2$. Если же туннельная прозрачность диэлектрика достаточно мала, то, согласно [1], возникает набор времен перезарядки повушек в диэлектрике. Проведенные ниже расчеты показывают, что в этом случае действительная часть проводимости возрастает по закону $\sigma(f) \sim f$.

Для расчета адmittанса ПТДП структуры была использована методика, развитая в [2] для р-п перехода с повушками в области пространственного заряда. Результаты расчета имеют вид:

$$\sigma(f) = \frac{q^2 A}{kT} \cdot \sum_i \frac{N_{ti}}{(2\pi f)^2 + \tau_{ti}^{-2}} \left[\frac{\alpha_{ni} \alpha_{pi} n_{s1} \rho_{s2}}{\tau_{ti}} + \left(\frac{2\pi f}{a} \right)^2 \left(\frac{\alpha_{ni} n_{s1} n_{i1} \gamma a_n^2}{n_{s1} + n_{i1}} + \frac{\alpha_{pi} \rho_{s2} \rho_{i2} a_p^2}{\rho_{s2} + \rho_{i2}} \right) \right], \quad (1)$$

$$\sigma(f) = \frac{\epsilon \epsilon_0 A}{a} + \frac{q^2 A}{k T a^2} \sum_i \frac{N_{ti}}{(2\pi f)^2 + \tau_{ti}^{-2}} \left[\alpha_{ni}^2 n_{s1} n_{i1} a_n^4 + \alpha_{pi}^2 \rho_{s2} \rho_{i2} a_p^4 - 2 \alpha_{ni} \alpha_{pi} n_{s1} \rho_{s2} a_n a_p \right]. \quad (2)$$

Здесь A – площадь диэлектрика, N_{ti} – концентрация повушек в диэлектрике на расстоянии x_i от границы раздела диэлектрика с первым полупроводником, $\alpha_{ni} = \alpha_{no} \exp(-x_i/\lambda_n)$ и $\alpha_{pi} = \alpha_{po} \exp(-(x_i-d)/\lambda_p)$ –

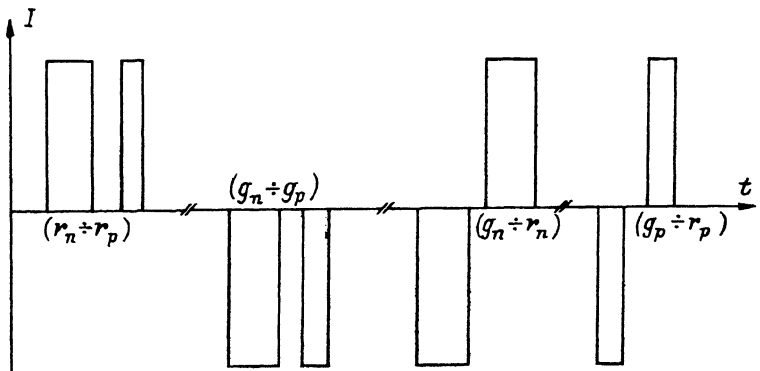


Рис. 2. Импульсы тока во внешней цепи, соответствующие различным типам генерационно-рекомбинационных процессов.

коэффициенты захвата электронов и дырок на i -ую ловушку, λ_n и λ_p – туннельные длины электронов и дырок в диэлектрике при энергиях, соответствующих дну зоны проводимости на поверхности первого полупроводника и потолку валентной зоны на поверхности второго полупроводника, $\varepsilon_{ti}^{-1} = \alpha_{ni}(n_{s1}n_{i1}) + \alpha_{pi}(P_{s2} + P_{i2})$, n_{s1} и P_{s2} – концентрации электронов в первом полупроводнике и дырок во втором полупроводнике у гетерограницы, $n_{i1} = n_{s1} \exp[(E_i - F)/kT]$, $P_{i2} = P_{s2} \exp[(F - E_i)/kT]$, E_i – энергия i -й ловушки, F – уровень Ферми; ε и ε_0 – диэлектрическая проницаемость полупроводников и вакуума, T – температура. Суммирование в (1), (2) производится по всем ловушкам в диэлектрике. При выводе (1), (2) предположено, что емкость ловушек в диэлектрике мала по сравнению с суммарной емкостью областей пространственного заряда в первом и втором полупроводниках, т.е.

$$N_t(F) < \varepsilon \varepsilon_0 g^{-2} (\alpha_n^{-1} + \alpha_p^{-1}), \quad (3)$$

где $N_t(F)$ – число ловушек в единичном интервале энергий вблизи уровня Ферми в диэлектрике единичной площади. При $\alpha_n \sim \alpha_p \sim 10^{-5}$ см, т.е. при концентрации легирующих примесей в первом и втором полупроводниках порядка 10^{16} см $^{-3}$, из (3) следует, что $N(F) < 10^{12}$ см $^{-2}$ эВ $^{-1}$. Заметим, что неравенство (3) не является необходимым условием возникновения $1/f^{\rho}$ -шума, а используется лишь для упрощения конечных формул.

Анализ (1), (2) показывает, что при выполнении условий $\max(f_{no}, f_{po}) \gg \min(f_{no}, f_{po})$ и $\exp(d/\lambda_n), \exp(d/\lambda_p) \gg 1$, где $f_{no} = \alpha_{no} n_{s1}(2\pi)^{-1}$, $f_{po} = \alpha_{po} P_{s2}(2\pi)^{-1}$, всегда имеется диапазон частот, в котором действительная часть импеданса изменяется по закону $ReZ(f) \sim 1/f^{\mathcal{J}}$, где \mathcal{J} – некоторое число, близкое к единице. Приведем результаты вычисления сумм (1), (2) для простейшего случая, когда туннельные длины электронов и дырок равны $\lambda_n = \lambda_p = \lambda$, а ловушки равномерно распределены по толщине диэлектрика и имеют квази-

непрерывный энергетический спектр более плавный, чем функция $\exp(\pm E/kT)$. Тогда из (1)–(3) следует $C_a^2 C_a = \mathcal{E} \mathcal{E}_0 A / a$ и

$$G(f) = \frac{\partial \mathcal{E} \mathcal{E}_0^2 A N_t(F)}{\partial f} \lambda \begin{cases} \frac{\pi^2}{4} \operatorname{arctg} \left[\sqrt{D_T} \left(\sqrt{\frac{f_{no}}{f_{po}}} + \sqrt{\frac{f_{po}}{f_{no}}} \right) \right]^{-1} & \text{при } f < f_0 \\ f \left[\frac{a_n^2}{a^2} \operatorname{arctg} \left(\frac{f f_{no}}{f^2 + f_{no}^2 D_T} \right) + \frac{a_p^2}{a^2} \operatorname{arctg} \left(\frac{f f_{po}}{f^2 + f_{po}^2 D_T} \right) \right] & \text{при } f > f_0, \end{cases} \quad (4)$$

где $D_T = \exp(-d/\lambda)$, $f_0 = 4\sqrt{D_T f_{no} f_{po}}$. Формула (4) симметрична относительно частот f_{no} и f_{po} . Для определенности положим $f_{no} > f_{po}$ и проанализируем два предельных случая формулы (4).

1. $D_T^{-1} f_{po} < f_{no}$. Выполнение этого неравенства наиболее вероятно в ПТДП структурах на основе широкозонных полупроводников, где величины n_{s1} и p_{s2} могут различаться на много порядков. Тогда из (3), (4) для спектральной плотности термодинамически равновесного флуктуационного напряжения на концах разомкнутой ПТДП структуры следует формула

$$S_V(f) = 4kT \cdot \operatorname{Re} Z(f) = \frac{kT \sigma(f)}{\pi^2 f^2 C_a^2} = \frac{g^2 k T \lambda N_t(F)}{f d C_n^2} \quad \text{при } f_{no} > f > D_T f_{no}, \quad (5)$$

где $C_n = \mathcal{E} \mathcal{E}_0 A / a$. Приведем численные оценки. Пусть $n_{s1} p_{s2} = 10^{10} \text{ см}^{-6}$, что соответствует $T = 300 \text{ К}$ и энергетическому зазору между диом зоны проводимости на поверхности первого полупроводника и потолком валентной зоны на поверхности второго полупроводника $\Delta E_S = 1.5 \text{ эВ}$. Выбирая $n_{s1} = 10^8 \text{ см}^{-3}$, $p_{s2} = 10^2 \text{ см}^{-3}$, $d_{no} \sim d_{po} \sim 10^{-8} \text{ см}^3 \text{с}^{-1}$ и $D_T = 10^{-5}$, получим, что $D_T^{-1} f_{po} \ll f_{no}$ и равновесный $1/f$ -шум имеет место в диапазоне частот от 0.1 до 10^4 Гц .

2. $D_T^{-1} f_{po} > f_{no} > f_{po}$. Выполнение этого неравенства наиболее вероятно в ПТДП структурах на основе узкозонных полупроводников или в случае толстого диэлектрика. Из (3), (4) следует

$$S_V(f) = g^2 A \frac{k T \lambda N_t(F)}{f d} \begin{cases} (C_n^{-2} + C_p^{-2}) & \text{при } f_0 < f < f_{po} \\ C_n^{-2} & \text{при } f_{po} < f < f_{no}, \end{cases} \quad (6)$$

где $C_p = \mathcal{E} \mathcal{E}_0 A / a_p$. Пусть $n_{s1} p_{s2} = 10^{23} \text{ см}^{-6}$, что соответствует $\Delta E_S = 0.75 \text{ эВ}$ и $T = 300 \text{ К}$. Выбирая $n_{s1} \sim 10^{13} \text{ см}^{-3}$, $d_{no} \sim d_{po} \sim 10^{-8} \text{ см}^3 \text{с}^{-1}$ и $D_T \sim 10^{-8}$, получим, что $D_T^{-1} f_{po} > f_{no} > f_{po}$ и равновесный $1/f$ -шум имеет место в диапазоне частот от 0.1 до 10^4 Гц .

Л и т е р а т у р а

- [1] Мак-Уортер А. В сб.: Физика поверхности полупроводников. М.: ИЛ, 1959, с. 263–288.

Поступило в Редакцию
8 декабря 1987 г.

Письма в ЖТФ, том 14, вып. 10

26 мая 1988 г.

ИЗЛУЧЕНИЕ ЭЛЕКТРОНОВ С ЭНЕРГИЕЙ 4.5 ГэВ В ТОЛСТОМ МОНОКРИСТАЛЛЕ АЛМАЗА

Р.О. Авакян, А.Э. Аветисян,
Р.А. Асатрян, Г.А. Вартапетян,
К.Р. Даллакян, С.С. Данагулян,
О.С. Кизогян, Э.М. Матевосян,
С.П. Тароян, Г.М. Эпбакян

Теоретическое предсказание [1] о возможности интенсивного излучения заряженных частиц, пролетающих вблизи кристаллографических осей и плоскостей (излучение при канализации), стимулировано обширные исследовательские работы по этой проблеме как в теоретическом аспекте, так и в экспериментальном.

Такой интерес к новому виду излучения при канализации частиц прежде всего обусловлен его уникальными характеристиками, такими, как высокая спектрально-угловая плотность излучения, большая степень поляризации фотонного пучка, квазимонохроматичность и т.д.

При создании высокоинтенсивных и узконаправленных пучков фотонов для прикладных задач важное место занимают исследования излучения в толстых кристаллах. Уже первые результаты в этом направлении [2-4] показали интересные особенности в процессе излучения электронов при увеличении толщины кристаллического радиатора. Был обнаружен заметный рост спектрально-угловой плотности излучения при толщинах, значения которых в 20 и более раз превышают расчетные длины деканализации. С другой стороны очевидно, что с увеличением толщины на спектрально-угловые характеристики излучения существенно могут влиять процессы многократного рассеяния частиц и их радиационные потери. Теоретические исследования влияний многократного рассеяния и радиационных потерь на динамику и характеристики излучения канализированных электронов показали существование оптимальной толщины кристалла L_0 , при которой энергетический выход излучения в заданный телесный угол является максимальным [5], а также привели к новому пониманию явления, связанного с объемным захватом и существованием аномально большой доли частиц, пробег которых в режиме канализации значительно превышает расчетную длину деканализации [6].